

В.Е. Анциперов
antciperov@cplire.ru

ОЦЕНИВАНИЕ ХАРАКТЕРА
ПОСЛЕДЕЙСТВИЯ СЛУЧАЙНЫХ
ТОЧЕЧНЫХ ПРОЦЕССОВ МЕТОДАМИ
МНОГОМАСШТАБНОГО
КОРРЕЛЯЦИОННОГО АНАЛИЗА.

Москва, Институт радиотехники и электроники им. В.А.
Котельникова РАН

2015

Содержание

- Случайные процессы “событийного” типа
- Телетрафик: древняя история
- Телетрафик: новое время
- Моделирование Internet трафика
- Корреляционное выделение локальных масштабов
- Аналитические спектры
- Представление “конического” типа точечных процессов
- Средний “спектр мощности” точечных процессов
- Средний “спектр мощности” стационарных процессов

Случайные процессы “событийного” типа

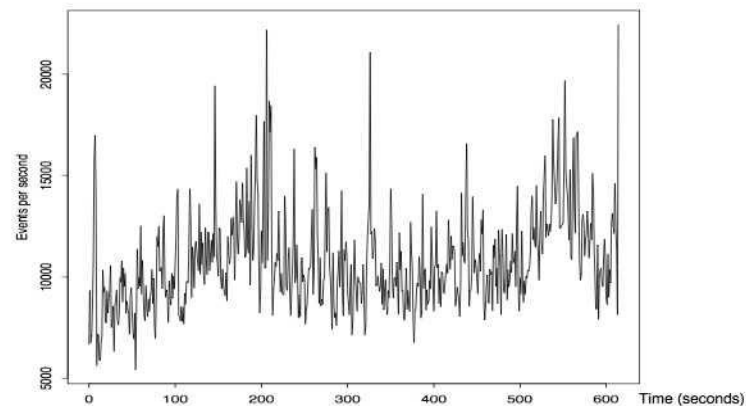
“Излагаемая здесь теория случайных точек может быть применена не только к импульсным сигналам, но и в других случаях, когда случайный процесс распадается на дискретные элементы или события...”

- Стратонович Р. Л., Избранные вопросы теории флуктуаций в радиотехнике. М.: Сов. Радио, 1961.

Electrocardiography



High-Level Network Traffic



neural coding

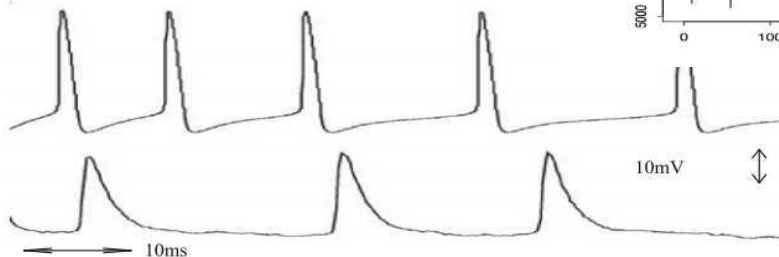


Fig. Two examples of biological data: Spike profiles in the cat primary visual cortex. The peak curvature order of magnitude is between 30 and 100 mV/ms^2 .

Телетрафик: древняя история

3. Tabellen og Skraalinierne.

Tabellen over den Poisson'ske Funktion $e^{-y} \frac{y^x}{x!}$ vil, naar
baade x og y tænkes variable, udfylde en Plan; vi kan be-
3*

Erlang A.K. Telefon-Ventetider. Et Stykke Sandsynlighedsregning // Matematisk Tidsskrift, B, 1920 (a paper on telephone waiting times, in Danish)

Теория телетрафика была первоначально основана на эмпирических исследованиях – на достаточно трудоемких измерениях потоков запросов в телефонных сетях. Результатом стала необоснованная вера в процессы Пуассона и экспоненциальное распределение, как в "универсальные законы" трафика, что отрицательно сказалось на необходимости сбора данных и их анализа в более сложных сетях.

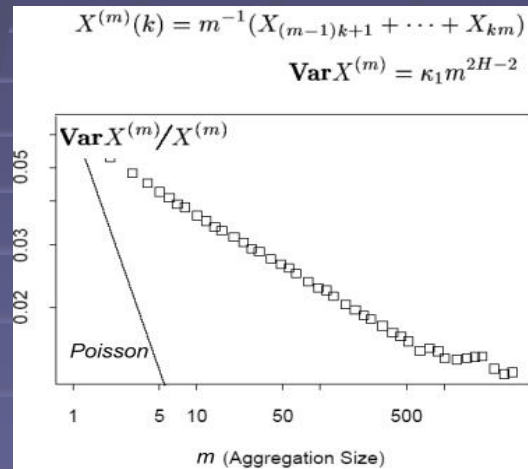
■W. Willinger, and V. Paxson, Where Mathematics meets the Internet // Notices of the American Mathematical Society, Vol.45, No.8, pp. 961-970, August 1998.



Агнер Краруп
Эрланг
1978-1929)

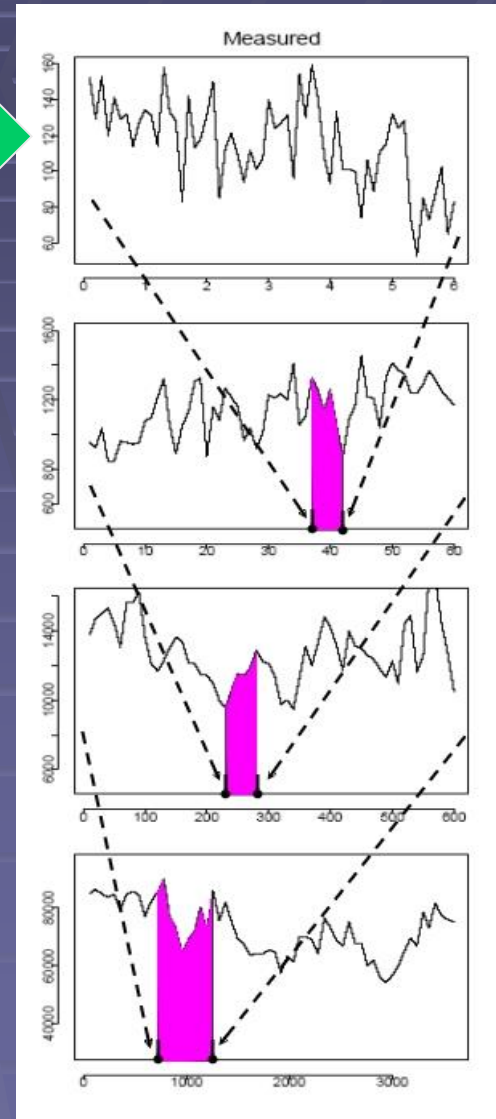
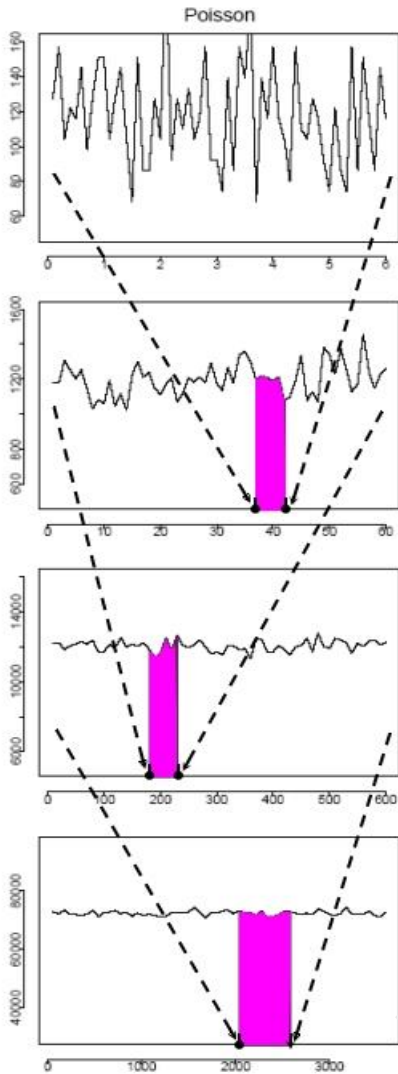
Телетрафик: новое время

Результаты измерения реального
Интернет-трафика
J. Mogul, 1995
<http://www.acra.org/sigcomra/ITA>
число запросов на соединение / сек



Goodbye Poisson – Hello fractals

Смоделированный трафик
пуассоновского потока:
число запросов на
соединение / сек



Моделирование трафика Internet

Ближайшая к Пуассоновской неэкспоненциальная модель трафика – процесс восстановления (поток с ограниченным последствием):

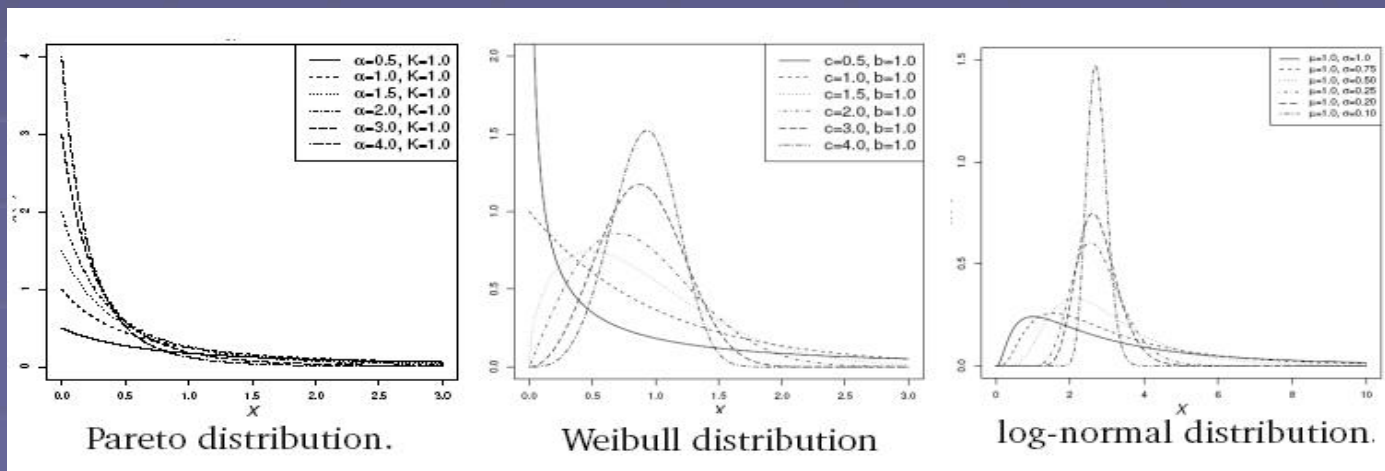
поток, у которого случайные интервалы T_1, T_2, \dots между соседними по времени событиями представляют собой независимые случайные величины с произвольными распределениями.

Вентцель Е.С., Овчаров Л.А. Теория случайных процессов и ее инженерные приложения. 2-е изд. // М.: Высшая школа, 2000.

Фрактальный процесс восстановления определяется как:

процесс восстановления у которого интервалы T_1, T_2, \dots имеют распределения с тяжелыми хвостами

M.A. Arfeen Contributions to Modelling of Internet Traffic by Fractal Renewal Processes // Doctor of Philosophy in Computer Science thesis, University of Canterbury, 2014



Корреляционное выделение локальных масштабов

МКА оценка АКФ :

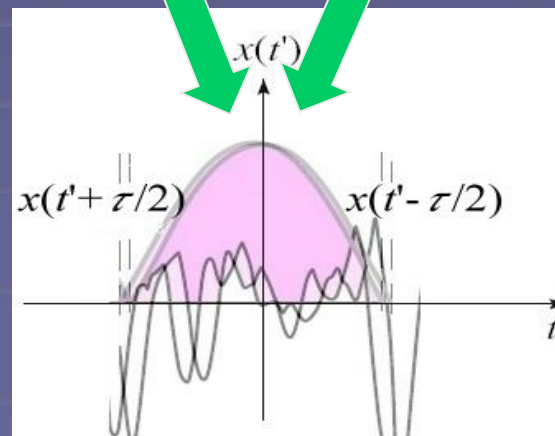
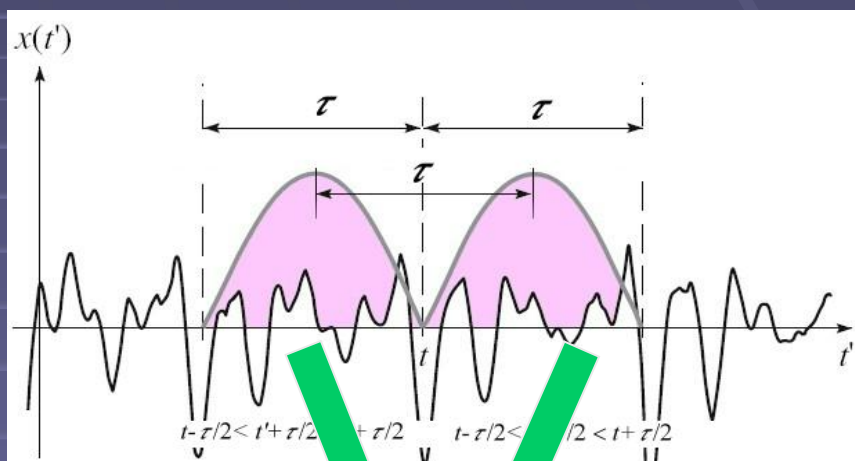
В.Е.Анциперов Многомасштабный корреляционный анализ нестационарных, содержащих квазипериодические участки сигналов // “Радиотехника и электроника”, т. 53, № 1, 2008

представление
 “конического” типа
 (нестационарный аналог
 спектр. мощности) :

$$CKR(f, t) = \int_{-\infty}^{+\infty} h(|\tau|) \hat{R}(\tau, t) \exp(-2\pi i f \tau) dt' d\tau$$

Zhao Y., Atlas L. E. and Marks R. J. The use of cone-shape kernels for generalized time-frequency representations of nonstationary signals. // IEEE Trans. Acoustics, Speech, Signal Processing, V. 38, N 7, 1990

$$\hat{R}(\tau, t) = \frac{1}{\tau} \int_{t-\tau/2}^{t+\tau/2} x(t' - \tau/2) x(t' + \tau/2) dt'$$



Аналитические спектры:

Аналитические спектры локального на момент t прошлого и локального на момент t будущего сигнала $x(t)$ есть:

$$S_{Pt}(f) = \int_0^{\infty} x(t - t') \exp(-2\pi i f t') dt'$$
$$S_{Ft}(f) = \int_0^{\infty} x(t + t') \exp(-2\pi i f t') dt'$$



Представление “конического” типа в терминах аналитических спектров:

$$CKR(f, t) = 2 \operatorname{Re} \left[\int_{+\infty}^{+\infty} H(f - f') S_{Pt}(f') S_{Ft}(f') df' \right];$$
$$H(f) = \int_0^{\infty} h(t') \exp(-2\pi i f t') dt';$$

В.Е.Анциперов Использование аналитических спектров локального прошлого и будущего сигнала для формирования и анализа билинейных частотно-временных представлений // Доклады 16-й Международной Конференции “Цифровая обработка сигналов и ее применение DSPA-2014”, т.1, Москва, 2014

Представление “конического” типа точечных процессов:

Сигнал импульсного типа $x(t)$:

$$x(t') = \sum_{k=-\infty}^{+\infty} g(t' - t_k) = \int_{-\infty}^{+\infty} g(t' - t'')v(t'')dt''$$
$$v(t'') = \sum_{k=-\infty}^{+\infty} \delta(t'' - t_k)$$

Аналитические спектры
локального прошлого и
локального будущего:

$$S_{Pt}(f') = G^*(f') \exp(-2\pi i f' t) \sum_{k=-\infty}^0 \exp(2\pi i f' t_k)$$
$$S_{Ft}(f') = G(f') \exp(2\pi i f' t) \sum_{k=1}^{+\infty} \exp(-2\pi i f' t_k)$$

Представление “конического” типа точечных процессов :

$$CKR(f, t) = 2 \operatorname{Re} \left[\int_{+\infty}^{+\infty} H(f - f') |G(f)|^2 \sum_{k'=-\infty}^0 \sum_{k=1}^{+\infty} \exp(-2\pi i f' (t_k - t_{k'})) df' \right];$$
$$G(f) = \int_{-\infty}^{\infty} g(t') \exp(-2\pi i f t') dt';$$

Средний “спектр мощности” точечных процессов:

$$\overline{CKR}(f, t) = 2 |G(f)|^2 \operatorname{Re} \left\{ \int_{-\infty}^{\infty} H(f - f') \sum_{k=1}^{+\infty} \mu_k(f') \sum_{k'=-\infty}^0 \mu_{k'}(f') \times \right. \\ \left. \times [\chi_{\pm}(f', f') - \chi_{\pm}(0, f') \chi_{\pm}(f', 0)] df' \right\}$$

$$\mu_k(f) = \prod_{l=2}^k \psi_l(f), \quad k \geq 2; \quad \psi_k(f) = \overline{\exp(-2\pi i f s_k)} = \\ \mu_k(f) = \prod_{l=k+1}^0 \psi_l(f), \quad k \leq -1; \quad = \int_0^{\infty} \rho_k(s) \exp(-2\pi i f s) ds$$

$$\chi_{\pm}(f_0, f_1) = \overline{\exp(-2\pi i f_0(t - t_0) - 2\pi i f_1(t_1 - t))} = \\ = \int_0^{\infty} \int_0^{\infty} p_{01}(t - t', t + t'') \exp(-2\pi i f_0 t' - 2\pi i f_1 t'') dt' dt''$$

Замечание: в случае статистической независимости t_0 и t_1
(например, для пуассоновского процесса):

$$p_{01}(t', t'') = p_0(t') p_{01}(t'') \Rightarrow \chi_{\pm}(f_0, f_1) = \chi_{\pm}(f_0, 0) \chi_{\pm}(0, f_1) \\ \Rightarrow \forall f \quad \overline{CKR}(f, t) \equiv 0$$

Средний “спектр мощности” стационарных процессов (процесс Палма):

в случае, когда все $\rho_k(s) = \rho(s)$:

$$\overline{CKR}(f, t) = 2 \frac{|G(f)|^2}{(2\pi \bar{s})^2} \operatorname{Re} \left\{ (-2\pi i) \int_{-\infty}^{\infty} W(f - f') \left[\frac{2\pi i \bar{s}}{(1 - \psi(f'))} - \frac{1}{f'} \right] df' \right\};$$
$$\psi(f) = \int_0^{\infty} \rho(s) \exp(-2\pi i f s) ds$$

Если известны корни $\{z_k\}$ уравнения $\psi(f') = 1$, то интеграл вычисляется на основе теории вычетов :

$$\overline{CKR}(f, t) = 2 \frac{|G(f)|^2}{\bar{s}^2} \operatorname{Re} \left\{ \sum_{z_m \neq 0} \operatorname{Res}_{z_m} \left(\frac{2\pi i \bar{s}}{(1 - \psi(f'))} \right) W(f - z_m) \right\}$$

Для распределений Эрланга:

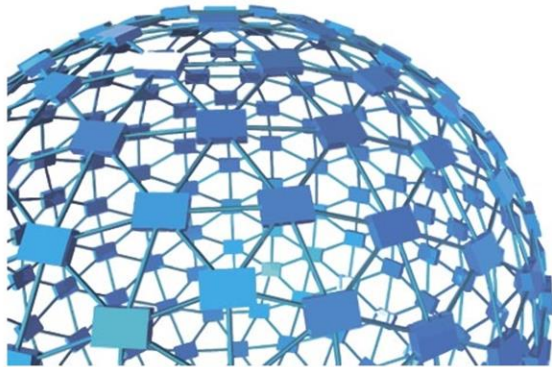
$$\rho(s) = \frac{(s/\sigma)^{n-1}}{\Gamma(n)\sigma} \exp(-s/\sigma) \Rightarrow z_k = \frac{1}{2\pi i \sigma} \left(\exp\left(-2\pi i \frac{k}{n}\right) - 1 \right)$$
$$\psi(f') = (1 + 2\pi i f' \sigma)^{-n}$$

В.Е. Анциперов
antciperov@cplire.ru

Спасибо

за

внимание!



Москва, Институт радиотехники и электроники им. В.А. Котельникова РАН

2015